



## دراسة هيدروموفورمترية لسيل الأول من نوفمبر 2020 بمدينة رأس غارب – مصر –

### معرض بدوى معرض

قسم الجغرافيا ونظم المعلومات الجغرافية – كلية الآداب – جامعة عين شمس – القاهرة – مصر

e-mail: [moawad.badawy@art.asu.edu.eg](mailto:moawad.badawy@art.asu.edu.eg)

(يحتوى على 10 أشكال و 4 جداول)

### الملخص

تعرضت مدينة رأس غارب فى الأونة الأخيرة لنكارة حدوث السيول المفاجئة التى أدت إلى إغلاق الطريق الساحلى وتعطل حركة النقل الرئيسية من وإلى محافظة البحر الأحمر، ويعتبر سيل 26 و 27 أكتوبر 2016 أسوأها منذ 50 عاماً، حيث أودى بحياة العشرات وتخریب البنية التحتية والمتاحف. كما تعرضت المدينة مؤخراً في يوم الأحد الموافق الأول من نوفمبر 2020 لسيل آخر مماثل لكنه أقل حدة من سيل 2016، والتي قدر فيها صافي حجم الجريان بنحو 954.6 مليون م<sup>3</sup>. وبهدف هذا البحث إلى دراسة الخصائص الهيدروموفورمترية لسيل الأول من نوفمبر 2020 بهدف تقدير حجم الأمطار والفوادن وصافى حجم الجريان فى الأودية التي تقطع الطريق الساحلى فى منطقة رأس غارب، وسبل الاستفادة من مياه الأمطار والحد من أضرار السيول المتكررة. وقد استُخدم في ذلك عدد من وسائل البحث المتقدمة منها التحليل الموفومترى واستخراج شبكات التصريف والأودية من نماذج الارتفاعات الرقمية بعد تصحيحها، وصور لاندستات وصور تفصيلية من Google Earth Pro، وتحليل بيانات المطر المستمدة من الأقمار الصناعية من نوع PERSIANN-CCS و PERSIANN-CDR لتقدير حجم مياه الأمطار، وحساب الفوادن بالتبخر- نتح وكذلك بالتسرب في التربة، وذلك باستخدام تقنيات نظم المعلومات الجغرافية والاستشعار عن بعد.

واستنتجت الدراسة أن أودية منطقة الدراسة قد استقبلت ما يقرب من 2 مليون م<sup>3</sup> من مياه الأمطار في وادي أبو حاد ، و 1.3 مليون م<sup>3</sup> في وادي الدرب، وبلغ إجمالى حجم الفوادن نحو 729,814.4 م<sup>3</sup> في وادي أبو حاد، و 911,407.4 م<sup>3</sup> في وادي الدرب. وبلغ صافى الجريان 1,390,182.92 م<sup>3</sup> في وادي أبو حاد بنسبة 65.57 % من حجم الأمطار التي سقطت على

الوادى، و 428,893.73 م<sup>3</sup> فى وادى الدرج بنسبة 31.99 % من حجم الأمطار التى تلقاها الوادى.

**الكلمات المفتاحية:** وادى أبو حاد، وادى الدرج، مدينة رأس غارب، السيلول، نظم المعلومات الجغرافية، مصر

© جميع حقوق الطبع والنشر محفوظة لحولية كلية الآداب - جامعة عين شمس 2021.

## 1. المقدمة

يمتاز مناخ الصحاري الحارة عاماً بكونه حاراً وجافاً معظم أيام السنة مع ندرة الأمطار، ومع ذلك تتعرض بعض أجزاء الصحراء بين الحين والأخر لسقوط أمطار غزيرة مفاجئة شديدة التركز نتيجة العواصف الطقسية العارضة، والتي تعتبر مصدرًا هاماً لتغذية خزانات المياه تحت السطحية، والتي تندعم سُبل الحياة المختلفة فيها، مثل الزراعة والرعى وغيرها من الأنشطة الإقتصادية الأخرى، إذا ما أحسن استغلال هذه المياه. لكن في ذات الوقت قد ينبع عنها سيول مدمرة ومميتة في معظم الأحيان بكل أسف.

وتهتم الدراسات الهيدرولوجية في الصحاري بفهم طبيعة السيول في الصحاري، والعوامل التي تؤدي إلى حدوثها، ومعرفة الأسباب التي تؤدي إلى سقوط الأمطار الفجائية الشديدة، وسبل التنبؤ بحدوثها، وسبل حسن استغلالها، وهو أمر لا زال شديد التعقيد إذ يختلف توافر وشدة السيول في الصحراء من عام لأخر، نظراً لاختلاف الكبير في معدلات سقوط الأمطار زمنياً ومكانياً (Warner, 2004)، لذا يصعب توقعها في الصحراء بشكل دقيق (Reid et al. 1994).

ويرجع حدوث السيول في مصر بوجه عام إلى الأمطار الغزيرة المصاحبة للعواصف الرعدية الشديدة، وهي مرتبطة بظروف جوية خاصة تحدث بشكل دورى وفي أماكن منفصلة، إذ نادراً جداً ما تؤدي الأحوال الجوية إلى سيول مفاجئة تغطي معظم أنحاء البلاد. وتحدث السيول في بضعة أيام محددة خلال الفترة الممتدة بين أكتوبر ومايو من كل عام نتيجة تعرض مصر لعدد من المنخفضات الجوية المؤثرة في أحوالها المناخية (خالد محمد مذكر على ، 2020). وبالرغم من انخفاض المعدل العام لسقوط الأمطار في مصر، إلا أن كثافة الأمطار وتركيزها يزداد في تلك الفترة إلى الحد الذي تصل فيه كميات كبيرة من المياه إلى سطح الأرض وتتسبب في تدفق السيول في وقت قصير جداً، بسبب فلة فقدان الماء من خلال التبخر وامتصاص التربة. ولقد ازداد حدوث السيول الفجائية والمخاطر الناجمة عنها خلال الـ 40-50 سنة الماضية نتيجة زيادة الأنشطة البشرية في الصحاري المصرية لأغراض استصلاح الأراضي (Embabi, 2018)

ويتميز حدوث السيول في مصر بالتوطن المحلي، إذ تحدث في مناطق بعینها في صعيد مصر ، الصحراء الشرقية، وشبه جزيرة سيناء، وتؤدي بكل أسف إلى خسائر اقتصادية كبيرة وأحياناً خسائر في الأرواح والممتلكات، مثل سيول درونكة (أسيوط - مصر) في 2 نوفمبر 1994 (محمود محمد محمد خضر 1997 ؛ 2002)، وسيل وادى العريش (شمال سيناء) في 18 يناير 2010، والتي تعد الأسوأ خلال العقود القليلة الماضية (Moawad, 2013).

وقد تعرضت مصر لعدد من المنخفضات الجوية في نهاية أكتوبر وبداية نوفمبر 2020 نتيجة لحركة البذبة الشمالية لمنخفض السودان الموسمي وأخدود البحر الأحمر RST، صاحبه تعمق لمنخفض جوي بارد في طبقات الجو العليا، وتزامن معهما ارتفاع في درجة حرارة المياه السطحية لمنطقة شرق البحر المتوسط، والتقاء التيار النفاث القطبي والمداري فوق الأراضي المصرية.

وتعتبر مدينة رأس غارب من المدن المتأثرة بالسيول التي حدثت في يوم الأحد الموافق الأول من نوفمبر 2020، وتبينت في عزل عدد من المدن الساحلية عن باقي أجزاء الجمهورية، وقطع الطرق الرئيسية على المسافرين ومحاصرتهم بسياراتهم على الطريق المؤدية إلى محافظة البحر الأحمر. الواقع أن منطقة رأس غارب تتعرض بين الحين والأخر لأحداث السيول، ولعل أعنفها تلك التي حدثت في 26 و 27 أكتوبر 2016، والتي أودت بحياة العشرات وتخريب البنية التحتية والممتلكات (Elnazer et al. 2017)، والتي قدر فيها صافي الجريان في أحواض منطقة الدراسة بنحو 954.6 مليون م<sup>3</sup> (نصر الدين محمود أحمد سالم 2019).

وأدت سيول الأول من نوفمبر 2020 إلى إغلاق الطريق الساحلي خاصة ما بين الغردقة - رأس غارب بسبب الأضرار الجسيمة التي أصابته من جراء السيول وسط ازدحام مركبات النقل الثقيل وأصحابها (شكل 1). وقضى مئات العائلات وسائقي الشاحنات ليلة صعبة على الطريق دون خدمات أو استراحات، مما أجبر معظمهم على النوم في سياراتهم بسبب الأضرار التي لحقت بالطريق من جراء مياه السيول التي أدت إلى إنهيار طبقة الأسفلت، على الرغم من سقوط المطر لمدة تقل عن 30 دقيقة حسب ما ذكره شهود العيان.

وتسبب تدفق مياه الأمطار في انقلاب حافلة سياحية على طريق الغردقة وانجراف عدد من السيارات والشاحنات عن الطريق. وأظهرت الصور ومقاطع الفيديو المتداولة في وسائل الإعلام ووسائل التواصل الاجتماعي تضرر العديد من الطرق في المدن الساحلية بسبب الأمطار، وتعطلت حركة المرور على الطرق الرئيسية وسط استياء من تكرار الأزمة كل عام دون تدخل حكومي. كما أعلنت الإدارة العامة للمرور غلق سبعة طرق حيوية بسبب الأمطار والرياح الترابية وانعدام الرؤية لمنع وقوع أي حوادث.

ويهدف هذا البحث إلى دراسة الخصائص الهيدروموفورمترية لسيل الأول من نوفمبر 2020، بهدف تقدير حجم الأمطار والفوائد وصافى حجم الجريان فى الأودية التى تقطع الطريق الساحلى فى منطقة رأس غارب، وسبل الاستفادة من مياه الامطار والحد من أضرار السيول المتكررة، وذلك باستخدام تقنيات نظم المعلومات الجغرافية والاستشعار عن بعد.

## 2. موقع منطقة الدراسة

تقع مدينة رأس غارب على الساحل الغربى لخليج السويس على مسافة 150 كم شمالاً من مدينة الغردقة على ساحل البحر الأحمر، وتبعد حوالي 302 كم من القاهرة العاصمة عبر طريق القاهرة السويس - العين السخنة - الطريق الساحلى. كما تبعد بنحو 240 كم عن مدينة بنى مزار بمحافظة المنيا عبر طريق المنيا الصحراوى - الشيف فضل - رأس غارب والذي يقطع وسط الصحراء الشرقية لمصر. وتقع المدينة فلكياً عند تقاطع خط طول 33° شرقاً مع دائرة عرض 28° 20' شمالاً.

وتتبع مدينة رأس غارب محافظة البحر الأحمر إدارياً، حيث يحدها شمالاً حدود محافظة البحر الأحمر مع محافظة السويس والتى تتماشى مع طريق الزعفرانة - الواسطى عبر وادى عربة الفاصل بين الجلالتين البحرية والقبليه، ومن الشمال الغربى الكيلو 46 طريق الزعفرانة الكريمات، ثم من الجنوب منطقة جبل الزيت على بعد 50 كم تقريباً، ويحدها من الشرق خليج السويس بداية من الزعفرانة على ساحل البحر الأحمر وحتى جبل الزيت، وأخيراً يحدها من الغرب طريق رأس غارب الشيف فضل - المنيا حتى الكيلو 75 تقريباً.



شكل 1: أثر سيول الأول من نوفمبر 2020 على الطرق الرئيسية برأس غارب

(منقولة عن وسائل الإعلام والبوابة الإعلامية لمحافظة البحر الأحمر)

وتعد مدينة رأس غارب من أهم مدن مصر على ساحل البحر الأحمر بعد مدينة الغردقة، نظراً لوجود عدة منصات بحرية لاستخراج البترول بجوارها في خليج السويس والتي تصب في محطات الشحن برأس غارب، حيث تعتبر رأس غارب من أكبر مراكز مصر إنتاجاً للبترول. كما يعمل ميناء رأس غارب على استقبال وشحن وتغليف ناقلات البترول وتقديم الخدمات البترولية والبحرية للسفن المارة بخليج السويس، كما يوجد بالمنطقة ثروات معدنية هامة وتمثل فيما يزيد عن 200 محجر لاستخراج وتعدين الخامات المختلفة مثل الرخام والكاولين والرمال البيضاء التي تدخل في صناعة الزجاج والكورتنز والفلسبار.

كما تضم مدينة رأس غارب أنشطة سياحية متنوعة لا سيما الدينية منها، حيث يتبعها أثنتين من أقدم الأديرة المسيحية في العالم، وهما من المزارات السياحية التي تستقطب السياح من جميع أنحاء العالم وهما دير الأنبا بولا ويقع على بعد 85 كم شمال مدينة رأس غارب، و دير الأنبا أنطونيوس ويقع على بعد 37 كم من طريق الزغرانة - الكريمات.

### 3. طريقة الدراسة

**1.3. الخرائط الطبوغرافية** مقاييس رسم 1: 50.000 الصادرة عن إدارة المساحة العسكرية بالقاهرة (جدول 1). وقد تم تعريف إحداثيات الخرائط الطبوغرافية وفقا لنظام مركيتور المستعرض العالمي UTM، والنظام الجيوديسي المرجعي العالمي WGS 84، النطاق N36. وقد استخدمت هذه الإحداثيات كنظام مرجعي أساسى لكل البيانات المكانية الواردة فى هذا البحث، بحيث يسهل تكامل البيانات المكانية مع بعضها البعض ومعايير نموذج الارتفاعات الرقمى قبل استخراج شبكات التصريف المائي، وكذلك إجراء كافة الحسابات الخاصة بالأطوال والمساحات والمطر والفواقد بالتسرب أو التبخّر. نتج المحتمل والجريان السطحى بوحدة قياس مناسبة (المتر ومعاملاته).

**جدول 1. لوحات الخرائط الطبوغرافية التي تغطي منطقة الدراسة**

اللوحة	سنة الإصدار	جهة الإصدار
رأس أبو بكر	1969	إدارة المساحة العسكرية
رأس غارب	1971	إدارة المساحة العسكرية
جبل أبو حاد	1981	إدارة المساحة العسكرية
جبل أم ربول	1975	إدارة المساحة العسكرية
جبل غرمول	1981	إدارة المساحة العسكرية
جبل غارب	1975	إدارة المساحة العسكرية

**2.3. صورة القمر الصناعي الأمريكي لاندسات-8:** بتاريخ 19 نوفمبر 2020 رقم 040/175

بدقة وضوح أرضي  $30 \times 30$  متر للقنوات من 1-9 ، و 15 متر للقناة 8 البنكروماتية، مع استبعاد القنوات 10 و 11 لعدم الحاجة إليها في الدراسة الحالية. وقد تم زيادة دقة الوضوح الأرضي إلى 15 مترًا باستعمال القناة الثامنة البنكروماتية عن طريق دمج الدقة لاستخدام الصور كأساس لدراسة الغطاء الأرضي وتصنيف التربة الهيدرولوجية بواسطة التصنيف المراقب supervised classification، وذلك لما لهذه العناصر من تأثير كبير في حساب كمية الفوائد المائية وتأثيرها على محصلة حجم الجريان المائي.

**3.3. صور تفصيلية من Google Earth Pro ver. 7.3.3:** يوفر برنامج

Google Earth Pro ver. 7.3.3 صوراً مختلفة الدقة المكانية، وقد اعتمدت الدراسة الحالية على الصور ذات الدقة المكانية العالية من نوع Quick Bird، حيث تصل دقتها المكانية إلى 61 سم للخلية. وقد تم تجميعها بواسطة برنامج stitch map وتصديرها مع الاحتفاظ بخصائصها الهندسية بحيث يسهل تكاملها مع بيانات الاستشعار الأخرى. وقد استخدمت هذه الصور في رسم شبكة الطرق الداخلية بمدينة رأس غارب.

**4.3. نموذج الارتفاعات الرقمي من نوع SRTM الإصدار الثالث:** وهي صور خاصة

بارتفاعات السطح أصدرتها وكالة الفضاء الأمريكية (ناسا) من المكوك الفضائي المعروف باسم Shuttle Radar Topography Mission والذى يعمل بتقنية الرادار فى القناة C لحساب ارتفاعات السطح. ويمثل الإصدار الثالث صور ارتفاعات سطح الأرض فى نسختها النهائية

والتي بدأت في الظهور تباعاً منذ 24 سبتمبر 2014 بعد تصحيح حدود المسطحات المائية وخطوط السواحل، وكذلك معالجة القيم الناقصة void pixels والقيم الشاذة (القمة والمنخفضات peaks and sinks). وقد صدرت هذه النسخة بدقة وضوح أرضي قدرها 30 متر، ويمكن تحميلها بالمجان بعد التسجيل في موقع <https://earthexplorer.usgs.gov>.

**5.3. بيانات المطر:** نظراً لغياب محطات الرصد داخل أحواض الأودية وفوق المرتفعات الجبلية التي تتلقى فعلياً قدرًا أكبر من المطر مما تتلقاه الأراضي المنخفضة على طول الساحل المجاور في منطقة خليج السويس والبحر الأحمر، فقد اعتمدت الدراسة الحالية على المعدلات المناخية المتوفرة لمحطة رأس غارب كبيانات استرشادية فقط. أما دراسة الخصائص الهيدرولوجية لأحداث السيول فقد اعتمدت على بيانات الأمطار المستخرجة من صور الأقمار الصناعية والمعروفة بمشروع PERSIANN، وذلك في نفس توقيت سقوط الأمطار في الأول من نوفمبر 2020، وهي بيانات يصدرها مركز الأرصاد الجوية الهيدرولوجية والاستشعار عن بعد (CHRS) في جامعة كاليفورنيا. ويوفر النظام تقديرات يومية للأمطار باستخدام بيانات الأشعة تحت الحمراء من نوع GridSat-B1 وتعديلها باستخدام المنتج الشهري لبيانات المناخ العالمية. واستخدمت الدراسة الحالية نوعين من هذه البيانات: النوع الأول- PERSIANN<sup>\*</sup> CDR، وقد استخدمت هذه الصور في تتبع العاصفة المطرية على مدار 24 ساعة. أما النوع الثاني فيعرف باسم PERSIANN-CCS<sup>\*\*</sup>، وتصل الدقة المكانية لهذا النوع من الصور (حجم الخلية)  $2.7 \text{ km} \times 2.7 \text{ km}$  ، ومن ثم يتاح إمكانية تقدير سقوط الأمطار على مستوى أحواض التصريف بمنطقة الدراسة.

**6.3. الخرائط الجيولوجية:** اعتمدت الدراسة الحالية على الخرائط الجيولوجية مقاييس 1:500,000 للوحتين رقم (NG 36 NE-Quseir) و (NH 36 SW-Beni Suef)، الصادرتين بتاريخ 1987 عن كونوكورال - الهيئة المصرية العامة للبترول (Klitzsch et al).

\* PERSIANN-CDR =Precipitation Estimation from Remotely Sensed Information using Artificial Neural Networks -Climate Data Record.

\*\* PERSIANN-CCS =PERSIANN-Cloud Classification System.

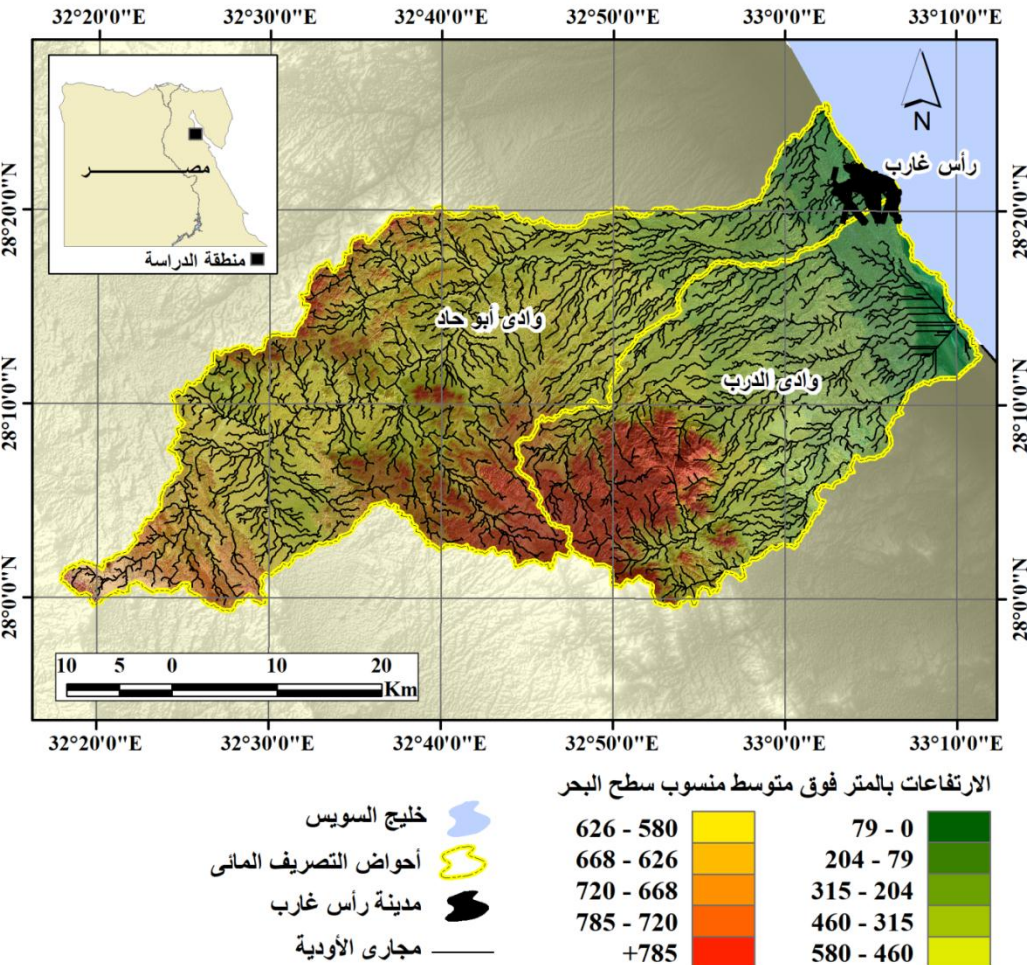
(al., 1987)، وكذلك الخريطة الجيولوجية لجبل غارب بمقاييس رسم 1 : 100,000 الصادرة عن Ministry of Petroleum, The Egyptian Mineral Resources Authority فى عام 2005، وذلك لدراسة التكوينات الجيولوجية السطحية للمساعدة فى تصنیف التربة الهیدرولوجیة، ودراسة خطوط البنية الرئيسية للوقوف على مدى تأثيرها على محاور الأودية وصافى الجريان.

#### **4. الخصائص الطبيعية العامة**

##### **1.4. مظاهر السطح**

يوضح (شكل2) تدرج تضاريس السطح فى منطقة الدراسة بين 1750 م فوق متوسط منسوب سطح البحر حتى خط كنتور 100 متر تقريباً والذى يمثل الحافة الشرقية للسلسة الجبلية، ليبدأ بعدها السهل الساحلى فى التدرج من 120م حتى خط الساحل. ويمكن تمييز عدد من القمم الجبلية فى منطقة الدراسة منها جبل أبو خشبة 1461 م، جبل غارب 1750 م، جبل أم ربول 1001 م، جبل غويرب 1359 م، جبل سمر الفاع 893 م، جبل سمر العبد 1069 م، بالإضافة إلى عدد من القمم المحلية غير المسمّاة.

وتغطى هذه المنطقة مجموعة من الأودية القصيرة التى تتحدر من الغرب إلى الشرق وصولاً إلى خليج السويس، ولعل أهمها وادى أبو حاد ووادى الدرب، وهما من الأودية الرئيسية. ويشغل طريق الشيخ فضل – رأس غارب قطاع كبير من المجرى الرئيسي لوادى أبو حاد، قبل تقاطعه مع الطريق الساحلى الرئيسي. وينتهى وادى أبو حاد بدلنا فيضية كبيرة نسبياً تمتد من شمال حقل بترول بكر 1 (2.5 كم شمالاً من رأس بكر)، وحتى رأس غارب جنوباً، بواجهة بحرية تصل نحو 7 كم تقريباً وبطول 10.3 كم، لتشغل بذلك مساحة قدرها  $61.4 \text{ كم}^2$  تقريباً. ويغطى الوادى الرئيسي مساحة تقدر بنحو  $1339.5 \text{ كم}^2$ ، بطول يزيد عن 90 كم على طول المجرى الرئيسي. ويقطع دلنا الوادى مجموعة من مخرات السيول المتعمقة التى تجرى متوازية تحت تأثير الإنحدار العام للسطح من الغرب إلى الشرق لتتصرف إلى خليج السويس.



**شكل 2: موقع منطقة الدراسة وارتفاعات السطح\***

(المصدر: مستخرجة من نموذج الارتفاعات الرقمي SRTM والخرائط الطبوغرافية)

أما وادي الدرب فيقع إلى الجنوب مباشرةً من وادي أبو حاد، ويجمع شبكة تصريفه من جبل غارب، ويتجه من الغرب إلى الشرق لمسافة تزيد عن 35 كم على طول المجرى الرئيسي، وعند عبوره خط كنثور +100 متر ينثرى الوادي بشدة ناحية الجنوب الشرقي بمحاذاة حافة السلسلة

\* تم تقسيم فئات الارتفاع في الخريطة بطريقة التصنيف الكمي quantile classification لتمييز المرتفعات بشكل أفضل بدليلاً عن الفئات المتتساوية، نظراً لفارق الكبير في الارتفاع بين المناطق السهلية والجبلية.

الجبلية ليلتهم به أودية أبو خشبة وأم اليسر، ينتهي بعدها الوادي الرئيسي عند سبخة الملاحة وخليج السويس. بذلك تصل مساحة وادى الدرج نحو  $878.3 \text{ كم}^2$  ، إذا ما أضفنا إليها مساحة كل من أودية أبو خشبة وأم اليسر.

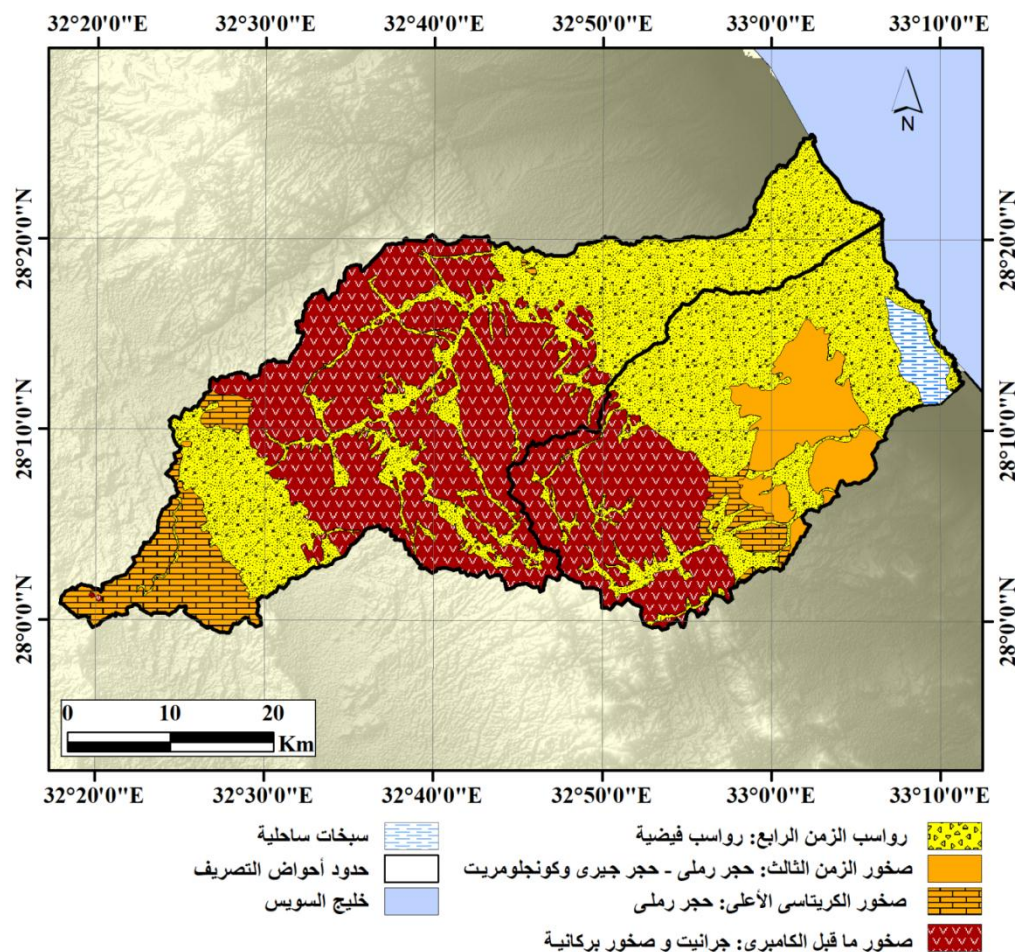
#### 2.4. الخصائص الجيولوجية

يوضح تحليل الخرائط الجيولوجية (شكل 3) أن المرتفعات الغربية في منطقة الدراسة تتالف في الأساس من صخور الجرانيت، مع بعض تداخلات من الصخور البركانية في المرتفعات العليا التي ينبع منها وادى أبو حاد ووادى الدرج. ويعود تكوين هذه الصخور إلى ما قبل الكامبري. ويعود جبل غارب (1750+م) أعلى قمة جبلية في منطقة الدراسة بين مجموعة الجبال المحيطة، حيث يتكون من صخور الجرانيت الرمادي والوردي متوسط إلى خشن الحبيبات والذي يرجع تكوينه إلى ما قبل الكامبري. وتحصر السلسل الجبلية بينها وبين خط الساحل مجموعة من التلال المنخفضة، والتي تتكون من صخور البليوسين وتتألف في الأساس من الحجر الرملي والجنس بالإضافة إلى الحصى والرمال.

وتتمثل بطنون الأودية بالرمال والصخى والرواسب الفيوضية والجلاميد الصخرية المشترقة من مرتفعات المนาبع العليا. أما السهل الساحلى فيتتألف في الأساس من رواسب الأودية القديمة والحديثة وتمثلها الرمال والرواسب الفيوضية والجلاميد وبقایا الشعاب المرجانية القديمة، علاوة على الطين في المناطق المنخفضة التي تشغله بعض السبخات الساحلية مثل سبخة الملاحة، والتي تستمد مياهها من نشع البحر، وتلك التي تصلها مع السيول، ويتراوح منسوب سطح سبخة الملاحة بين +3 أمتار و -1 متر تحت سطح البحر.

ويظهر تأثير الصدوع الصخرية على مجاري الأودية بوضوح في المرتفعات الغربية ، حيث تستقيم مجاري بعض الوديان تحت تأثير الصدوع، كما يتعامد أغلب الروافد ويتصل بعضها ببعض بزوايا تكاد تكون قائمة تماماً على سطوح الجبال، كما يتماشى بعض هذه الروافد على حدود التكوينات الصخرية. أما على السهل الساحلى فتتخذ مجاري التصريف نمطاً أقرب للنمط

المتوازى نظراً لجريانها تحت تأثير الإنحدار العام لسطح الأرض، علاوة على ظهور مجاري الأودية المضفرة.



شكل 3: جيولوجية أحواض التصريف

(المصدر: رسمت من الخرائط الجيولوجية مقياس 1: 500,000 لوحات SW-Beni Suef 36 و NH 36)

(NE-Quseir)

### 3.4. الظروف المناخية السائدة

لا تتوافر بيانات تفصيلية عن الظروف الجوية والمناخية السائدة في منطقة رأس غارب، غير أنه من المعروف أنها تتصف بصيف حار وجاف وشتاء بارد جاف بوجه عام. وتتراوح درجات حرارة شهور الصيف العظمى في محطة رأس غارب بين 35° و 24° سيليزية، أما في فصل الشتاء فتتراوح درجات الحرارة العظمى بين 19° و 21°، وتتراوح درجات الحرارة الصغرى بين 10° و 12° سيليزية.

أما عن الأمطار فهي شحيبة للغاية، إذ لا تزيد نسب احتمالية سقوطها عن 2%， ويسقط أغلبها في الفترة الممتدة من أكتوبر حتى مايو، وتسقط بكميات قليلة جداً، إذ نادرًا ما يزيد معدلها السنوي عن 2.8 مم، ومع ذلك تتعرض المنطقة بين الحين والأخر لعواصف رعدية تتسبب في سقوط الأمطار بمعدلات قد تصل لأكثر من 10 مم وفي وقت قصير للغاية (عادة لا تزيد مدة العاصفة عن ساعتين)، مما يتسبب في حدوث السيول وما ينتج عنها من أخطار تهدد الطرق والمدن الساحلية. ورغم انخفاض كمية الأمطار الساقطة عموماً على منطقة الدراسة، إلا أن كمية المطر التي سقطت في منطقة رأس غارب في 27 أكتوبر 2016 تعد الأعلى على الإطلاق حتى الآن حيث بلغت 476 مم (نصر الدين محمود أحمد سالم 2019).

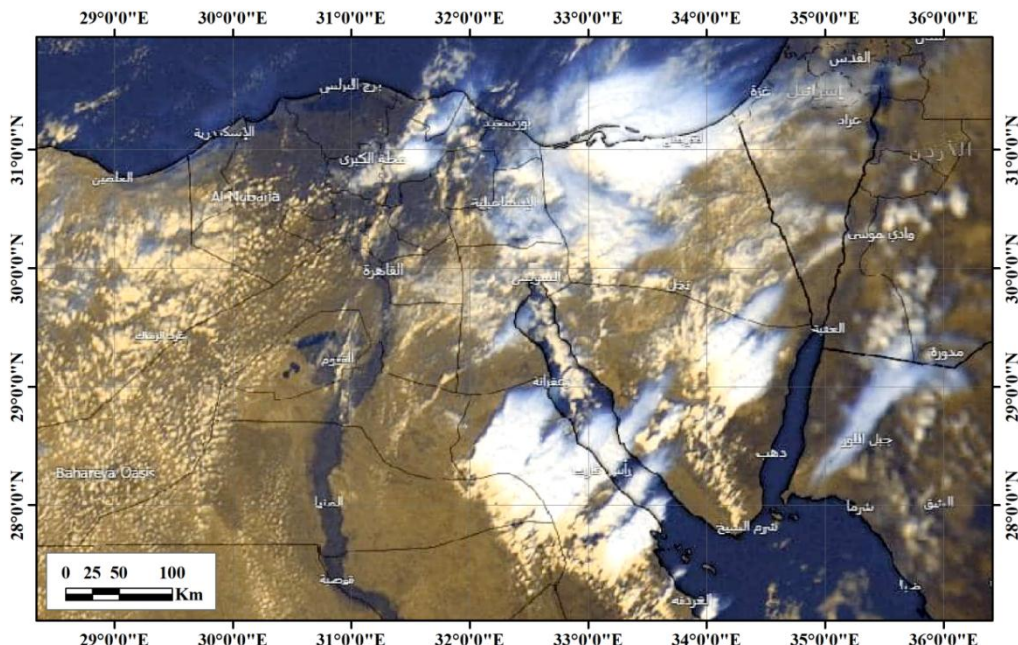
أما الرطوبة النسبية فتتميز بارتفاعها النسبي طوال العام، وتصل أعلىاتها في شهر أكتوبر 54%， بينما تصل أدنوها في شهر يونيو 42%. كذلك ترتفع معدلات التبخر للغاية حيث تفوق بكثير معدلات سقوط الأمطار، ويتراوح المتوسط الشهري للتبخر بين 5 مم في شهر يناير و 8.8 مم في شهر أغسطس، ويصل المتوسط اليومي للتبخر نحو 7.5 مم.

ويتطبق معامل الجفاف العالمي<sup>\*</sup> Global Aridity Index (GAI) وفقاً للمعطيات المناخية المتاحة نجد أن منطقة الدراسة تقع ضمن نطاق المناخ شديد الجفاف، حيث تنخفض العلاقة بين المتوسط السنوي للمطر والتبخر - نتج المحتمل لأقل من 0.03 (Hijmans et al. 2005).

<sup>\*</sup> يحسب معامل الجفاف العالمي وفقاً للعلاقة (GAI): ( المتوسط السنوى للمطر ÷ المتوسط السنوى للتبخر نتج المحتمل ) (Hijmans et al. 2005)

وقد أظهرت الصور الفضائية المستمدة من موقع أنه في يوم الأحد الموافق الأول من نوفمبر 2020 غطت السحب الرعدية عدة مناطق متفرقة من شمال شرق مصر وهي: شرم الشيخ وغرب خليج السويس حتى الغردقة، ووسط وشمال سيناء وأجزاء من محافظة الدقهلية والشرقية، وتحركت باتجاه محافظة دمياط وبحيرة المنزلة. ووصل غطاء السحب نحو 49.5% مع زيادة سرعة الرياح لتصل 68.4 كم/س عن اليوم السابق. وقد تسبب ذلك في سقوط أمطار غزيرة مصحوبة بالرعد في وقت قصير جدًا لا يتجاوز ثلاثة ساعات، وذلك على عدة مناطق متفرقة غرباً من خليج السويس (رأس شقير ، رأس غارب ، الزغرافانة) والمرتفعات الغربية لذالك المنطقة، وكذلك على شمال سيناء ومرتفعات سانت كاترين وشرق مدينة السويس (شكل ٤).

.(4)



شكل 4: سحب رعدية تغطي غرب خليج السويس وشمال ووسط سيناء في الأول من نوفمبر

(المصدر: <https://worldview.earthdata.nasa.gov/>) 2020

## 5. شبكة الطرق

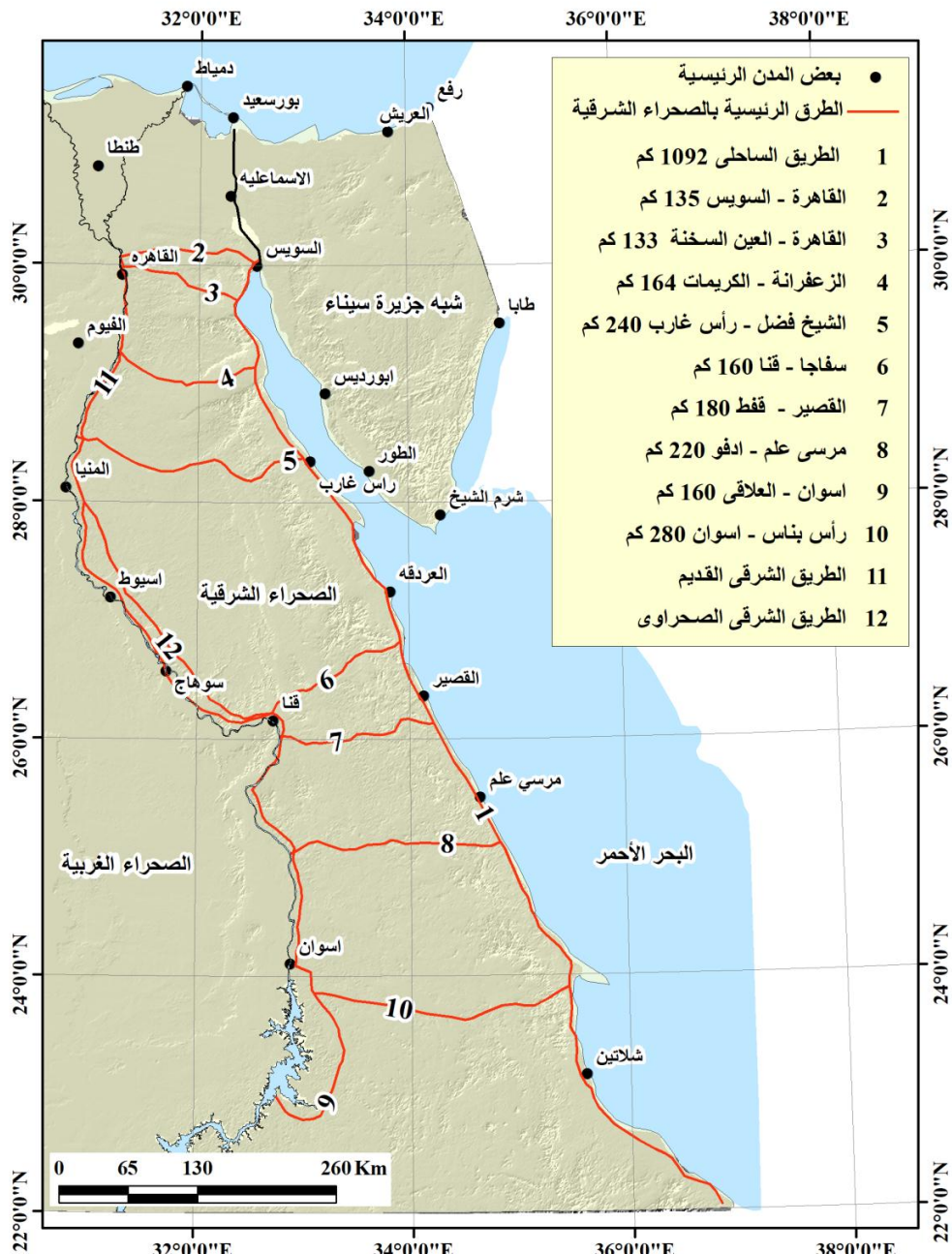
### 1.5. شبكة الطرق الرئيسية

ترتبط مدينة رأس غارب بحكم موقعها الجغرافي وأنشطتها الإقتصادية المتعددة بكل مدن البحر الأحمر ومدن الوجه القبلي القريبة منها عن طريق شبكة من الطرق السريعة. وتعد مدينة رأس غارب أحد نقاط الربط الرئيسية على طول ساحل البحر الأحمر نظراً لوقوعها مباشرة على الطريق الساحلي. وفيما يلى إشارة موجزة لأهم محاور الطرق الرئيسية بالنسبة لمدينة رأس غارب (شكل 5):

1. الطريق الساحلي: يمتد الطريق الساحلي على طول ساحل البحر الأحمر من الشمال إلى الجنوب بطول يصل نحو 1092 كم، بداية من مدينة السويس وحتى رأس حربة قرب الحدود المصرية السودانية. وينقسم الطريق الساحلي إلى مجموعة من القطاعات المتصلة على النحو التالي:

- قطاع السويس – رأس الزعفرانة بطول 123 كم
- قطاع رأس الزعفرانة – رأس غارب بطول 105 كم
- قطاع رأس غارب – الغردقة بطول 150 كم
- قطاع الغردقة – بور سفاجا بطول 60 كم
- قطاع بور سفاجا – القصير بطول 80 كم
- القصير – مرسى علم بطول 133 كم
- مرسى علم – رأس بناس بطول 153 كم
- رأس بناس – حلوب بطول 288 كم

2. القاهرة – السويس: يعتبر طريق القاهرة – السويس أحد محاور النقل الرئيسية التي تربط محافظة السويس والبحر الأحمر بمدينة القاهرة، كما يعتبر كذلك المنفذ الرئيسي لمحافظات الوجه البحري لصحراء مصر الشرقية، بالإضافة إلى الطريق الممتد من محافظة الإسماعيلية إلى مدينة السويس. ويمتد طريق القاهرة السويس من الغرب إلى الشرق عبر صحراء شرق الدلتا بطول 135 كم.



شكل 5: محاور الطرق الرئيسية بمحافظة مصر الشرقية

(المصدر: رسمت من خريطة الطرق لجمهورية مصر العربية مقاييس 1: 2000,000 ، الهيئة المصرية العامة للمساحة، وتم تحديث الطرق من صور Google Earth Pro)

3. القاهرة – العين السخنة: وهو أحد المحاور الهامة التي تربط بين جنوب القاهرة ومحافظتي السويس والبحر الأحمر. يصل طول الطريق نحو 133 كم تبدأ من القطامية جنوب القاهرة وتنتهي عند العين السخنة، ليبدأ بعدها الطريق في متابعة مساره عبر مدينة الجالة ورأس غارب ليصبح جزءاً من الطريق الساحلي وصولاً لمدينة الغردقة وباقى مدن ساحل البحر الأحمر. ويوازى طريق القاهرة - العين السخنة طريق المحاجر، والذى يُسهل حركة نقل المركبات الثقيلة المحملة بالأحجار والمعادن المختلفة تمهدًا لنقلها عبر موانئ البحر الأحمر.

4. الكريمات – الزعفرانة: يربط هذا الطريق بين محافظة الجيزة (قرية الكريمات) ومحافظة البحر الأحمر بطول 164 كم عبر الصحراء الشرقية، لينتهى قرب مدينة الزعفرانة بالتقاطع مع الطريق الساحلي، على مسافة 106 كم شمالاً من مدينة رأس غارب.

5. الشيخ فضل - رأس غارب: يمتد عبر وسط الصحراء الشرقية بطول 240 كم وعرض 12 متراً. ويبدأ الطريق من قرية الشيخ فضل بمحافظة المنيا وينتهي غرباً قرب ساحل البحر الأحمر، حيث يلتقي بالطريق الساحلي عند مدينة رأس غارب. ويربط طريق القاهرة – أسيوط الصحراوى (شرق النيل) بين طريق الزعفرانة – الكريمات ، وطريق الشيخ فضل – رأس غارب، كما يتصل الطريق مرة أخرى بطريق الكريمات عند الكيلو 90 تقريباً عبر تلك الوصلة القادمة من طريق الكريمات – الزعفرانة والمتجهة من الشمال إلى الجنوب لتقاطع مع طريق الشيخ فضل – رأس غارب.

ويمتد الطريق الساحلي بعد رأس غارب وصولاً لمدينة الغردقة، أحد أهم المدن السياحية على ساحل البحر الأحمر. بذلك تعتبر رأس غارب نقطة محورية بالنسبة لشبكة الطرق الرئيسية بمحافظة البحر الأحمر، إذ تنتهي إليها كل محاور النقل القادمة من الوجه البحري وشبه جزيرة سيناء والقاهرة والجيزة، وصولاً لمدينة الغردقة.

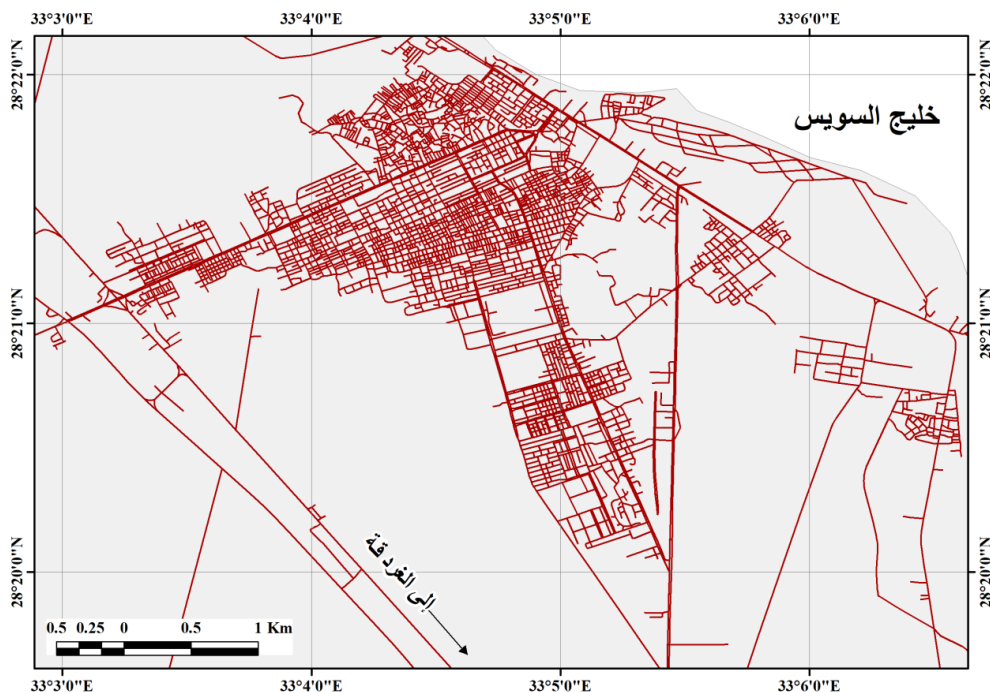
وحيث أن هذا القطاع من الطرق الرئيسية يتعرض بين الحين والأخر لأخطار السيول، فإن ذلك يؤدي إلى شلل مروري وعزل الأقسام الإدارية الشمالية من محافظة البحر الأحمر، حيث يستحيل التنقل عبر شبكة الطرق المتضررة من أخطار السيول، وتصبح محاور الرابط

الرئيسية بالمحافظة فى تلك الحالة هي التي تربطها بمحافظات الصعيد جنوباً مثل طريق سفاجا – قنا بطول 160 كم، طريق القصير – فقط بطول 180 كم، طريق مرسى علم إدفو بطول 220 كم ، وأخيراً طريق رأس بناس – أسوان بطول 280 كم.

## 2.5. شبكة الطرق الداخلية

تعد مدينة رأس غارب من المدن حديثة النشأة نسبياً، حيث يعود تاريخها لنهاية القرن الثامن عشر الميلادي عندما أنشأ فيها المهندس الفرنسي جوستاف ايفل فناراً تاريخياً، إذ لم يكن للمدينة وجود قبل هذا التاريخ حسب المصادر التاريخية. وازدهرت المدينة مع بداية التنقيب عن البترول منذ عام 1938 تقريباً. ومنذ ذلك التاريخ روعى في تخطيط المدينة الحفاظ على طابعها العمراني المنظم الذي تبنته شركات البترول الأولى. وقد روعى ذلك أيضاً مع التوسعات العمرانية التي مرت بها المدينة لا سيما في الوقت الحالي مع تزايد أعداد السكان، ومن ثم بلغت مساحة الكتلة العمرانية بها حوالي  $4939.53 \text{ كم}^2$ . ومع التوسعات الحالية شمالاً وجنوباً وغرباً تعانى بعض مناطق المدينة من جراء تعرضها لأخطار السيول التي تؤثر على بعض المباني والمنشآت فضلاً عن الطرق الداخلية.

وتغطى المدينة شبكة طرق كثيفة تم رسمها من الصور الفضائية عالية الدقة المستخرجة من برنامج Google Earth Pro. وتحكس شبكة الطرق الداخلية نمواً منتظاماً، تلتقي فيه الطرق الرئيسية والفرعية حول البلوكات العمرانية بشكل مناسب. ويصل عدد الطرق الرئيسية والثانوية داخل مدينة رأس غارب نحو 3600 طريق، ويصل مجموع أطوالها مجتمعة نحو 300 كم (شكل 6).



**شكل 6: شبكة الطرق الداخلية فى مدينة رأس غارب**

(المصدر: رسمت من صور Google Earth Pro)

#### 6. تصحيح بيانات الارتفاعات

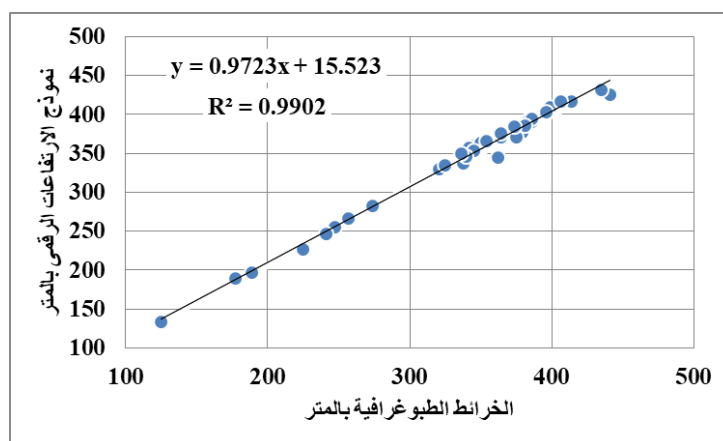
اعتمدت الدراسة الحالية على نموذج الارتفاعات الرقمي المستخرج من الإصدار الثالث لصور المكوك الفضائي SRTM. ورغم أن هذا الإصدار يتميز بتصحيح حدود المسطحات المائية وخطوط السواحل، ومعالجة القيم الناقصة void pixels والقيم الشاذة (القمم والمنخفضات peaks and sinks)، بدرجة ثقة تصل إلى 99 % (Mukul, et al. 2017)، إلا أن الدقة الرئيسية لهذه الصورة تتراوح بين  $\pm 16$  مترًا (Sharma, et al. 2010, Mukul, et al. 2017). وقد أوضحت دراسة (Moawad & Abdel Aziz 2018) في حوض وادي السرى بالصحراء الشرقية لمصر (محافظة قنا) أن الخطأ الرئيسي في بيانات نماذج الارتفاعات الرقمية المستخرجة من صور SRTM يظهر بوضوح في الارتفاعات التي تزيد عن 320 متر، وتقل تدريجياً نسبة الخطأ في الارتفاعات التي تقل عن ذلك بنسبة دقة تصل 79.9 % بوجه عام،

ويؤثر ذلك سلباً على استخراج وتحليل العناصر الطبوغرافية خاصة في المناطق المستوية، مثل إنشاء خرائط الكنتور والانحدارات واتجاهاتها واستخراج شبكات التصريف. لذا فإنه أصبح من الضروري تصحيح قيم الارتفاعات الرقمية المستخرجة من صور SRTM لدراسة أحواض التصريف في منطقة الدراسة. وتمت عملية التصحيح باستخراج نقاط المناسب من الخرائط الطبوغرافية وإنشاء سطح ثلاثي الأبعاد منها يشغل نفس الحيز الجغرافي لمنطقة الدراسة، ثم معايرة عدد 50 نقطة منسوب مستخرجة من نموذج الارتفاعات الرقمي وموزعة على منطقة الدراسة بشكل عشوائي، ومقارنتها بالخرائط الطبوغرافية مقاييس رسم 1: 50.000 الصادرة عن إدارة المساحة العسكرية بالقاهرة (جدول 1) كأساس لعملية المعايرة والتصحيح.

وتمت عملية التصحيح بواسطة معادلة خط الإنحدار لإظهار العلاقة بين نقاط الارتفاع المستخرجة من نموذج الارتفاعات الرقمي ومقابلاتها من الخرائط الطبوغرافية. وقد أظهرت نتائج المعايرة أن معامل الإرتباط بين بيانات نموذج الارتفاعات الرقمي والخرائط الطبوغرافية يصل نحو 0.99، ومع ذلك يتراوح معدل الفروق بينهما بين 2 - 14 متراً بمتوسط 6 أمتار، لذلك وجب تعديل بيانات نموذج الارتفاعات الرقمي وفقاً للمعادلة الآتية (شكل 7):

$$\text{نموذج الارتفاعات المعدل} = 0.9723 \text{ س} + 15.523$$

حيث أن س تمثل بيانات الارتفاعات المستخرجة من الخرائط الطبوغرافية.



شكل 7: تصحيح بيانات نموذج الارتفاعات الرقمي مقارنة بالخرائط الطبوغرافية

## 7. استخراج شبكات الأودية

بالرغم من عمليات التصحيح التي تمت على نموذج الارتفاعات الرقمي إلا أنه قد تعانى بعض الخلايا فيه من شذوذ فى قيم الارتفاعات، لذلك يتم بداية إجراء عملية تصحيح (حشو) filling لقيم الخلايا الشاذة (المنخفضات والقمم) لتجنب أى تقطيع فى مسارات شبكة التصريف ولضمان استمراريتها وفقاً لمظاهرها الطبيعى. ويتم ذلك بطريقة المرشحات المكانية من نوع convolution filters، حيث يتم إعادة حساب قيم الخلايا بدلالة الخلايا المجاورة، وذلك بالاستعانة بأدوات التحليل المكانى المدرجة ببرنامج ArcGIS 10.8.

يتم بعد ذلك تحديد اتجاه الجريان المائى flow direction الصادر من كل خلية بالنسبة للخلايا المجاورة وفقاً للتغيير في قيم ارتفاعات السطح بين الخلايا المجاورة بواسطة مصفوفة فردية ( $3 \times 3$  خلايا)، فيما يعرف بطريقة الاتجاهات الثمانية (D8) نسبة إلى الخلايا الثمانية المجاورة للخلية موضع الاهتمام (Jenson & Domingue, 1988).

يُحسب بعد ذلك تراكم الجريان Flow Accumulation ويعنى ذلك الوزن المترافق لجميع الخلايا التي تتدفق إلى كل خلية وفقاً لإنحدار السطح. وقد تم اظهار مجاري الأودية للخلايا التي يصل تراكم الجريان بها 10 خلايا فأكثر، وهى قيمة حدية threshold value تجريبية تختلف وفقاً للدقة المكانية spatial resolution لنموذج الارتفاعات الرقمي وطبيعة تضاريس منطقة الدراسة.

أخيراً استخراج أحواض التصريف بدلالة طبقة خاصة بنقاط التصريف والإلتقاء بين الروافد الفرعية والمجرى الرئيسي pour points، ثم استخراج شبكة التصريف المائى وترتيبها بطريقة استريلر (Strahler, 1964).

## 8. التحليل المورفومترى لحواض التصريف

يوضح تحليل بعض المتغيرات المورفومترية الهامة للدراسة الحالية أن هناك ثمة اختلاف واضح بين مساحة حوضى التصريف (جدول 2)، حيث تصل مساحة وادى أبو حاد 1,339.5 كم<sup>2</sup>، بينما تصل 878.3 كم<sup>2</sup> فى وادى الدرب. وينعكس ذلك بداية على اختلاف محیط الحوض

الذى يصل 266.8 كم فى وادى أبو حاد، و 151.2 كم فى وادى الدرب، كما ينعكس على إجمالي مجموع الروافد فى كل منها، حيث يصل عددها 692 رافداً فى وادى أبو حاد، ونحو 528 رافداً فى وادى الدرب، ومع ذلك تصل رتبة الواديين للرتبة السابعة. ولهذا التباين المساحى تأثير واضح على كثافة التصريف التى تصل  $0.72 \text{ كم} / \text{كم}^2$  فى وادى أبو حاد، و التى تزيد لتصل  $0.98 \text{ كم} / \text{كم}^2$  فى وادى الدرب.

جدول 2: بعض المتغيرات المورفومترية لحوضى التصريف

المتغير	وادى أبو حاد	وادى الدرب	الطريقة*
مساحة الوادى ( $\text{كم}^2$ )	1,339.5	878.3	مستخرج من التحليل الرقمى (Strahler, 1964)
رتبة الوادى	7	7	مستخرج من التحليل الرقمى (Miller, 1953)
مجموع عدد الروافد	692	528	مستخرج من التحليل الرقمى (Strahler, 1964)
طول المجرى الرئيسي (كم)	90	35	مستخرج من التحليل الرقمى (Pilgrim & McDermott, 1982)
أطوال الروافد (كم)	970	854.9	مستخرج من التحليل الرقمى (Strahler, 1964)
محيط الحوض (كم)	266.8	151.2	مستخرج من التحليل الرقمى (Miller, 1953)
معامل الاستدارة	0.23	0.48	مستخرج من التحليل الرقمى (Pilgrim & McDermott, 1982)
كثافة التصريف ( $\text{كم} / \text{كم}^2$ )	0.72	0.97	
زمن التركيز (ساعة)	11.7	9	

أما عن معامل الاستدارة فله تأثير هام على زمن التركيز ، فالاؤدية المستديرة يقل فيها زمن التركيز حيث تصل جميع المياه المنحدرة من روافد الوادى إلى نقطة المصب فى نفس التوقيت تقريباً. وبتطبيق معامل الإستدارة يتضح أن وادى أبو حاد يميل إلى الإستطالة (0.23)، ومن ثم يصل فيه زمن التركيز لنحو 11.7 ساعة. على النقيض يميل وادى الدرب نسبياً إلى الإستدارة (0.48) ومن ثم يقل فيه زمن التركيز لنحو 9 ساعات فقط.

\*للمزيد حول المعاملات المورفومترية يمكن الرجوع إلى: جودة حسنين جودة و محمود محمد عاشور وأخرون (1991).

\*\*يُحسب زمن التركيز  $T_c$  وفقاً للعلاقة:  $T_c = 0.76 \cdot A^{0.38}$  ، حيث أن  $A$  مساحة الحوض (Pilgrim & McDermott, 1982).

## 9. التحليل الهيدرولوجي لسيول يوم الأحد الموافق الأول من فبراير 2020

### 1.9. تقدير حجم مياه الأمطار

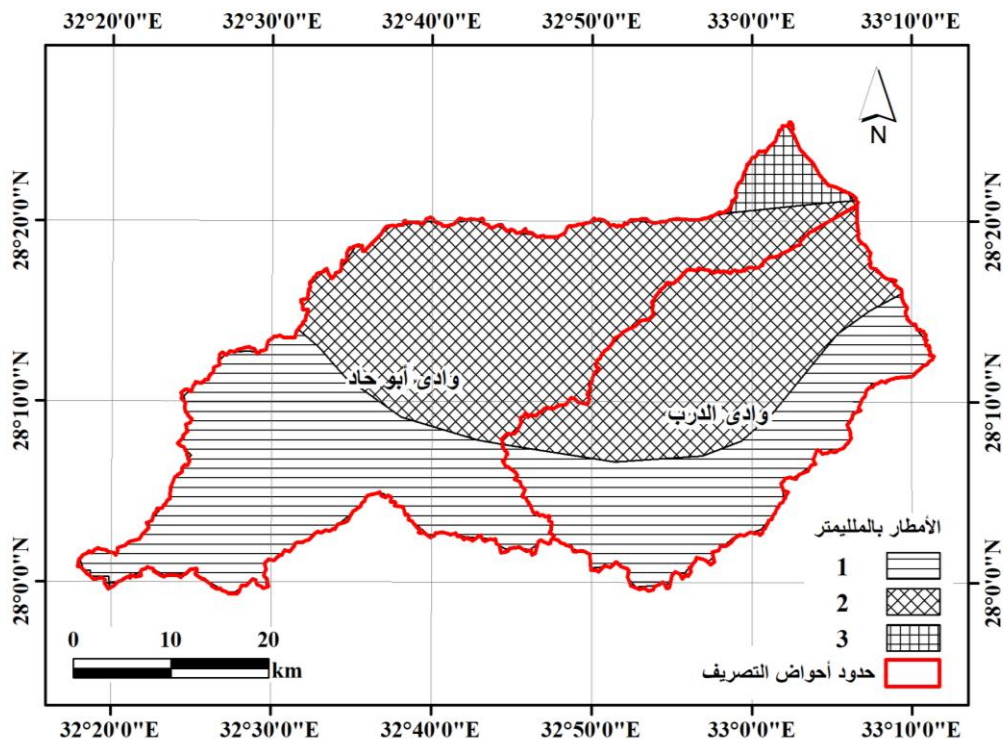
يتضح من هذا العرض أن منطقة الدراسة تحظى بوجه عام بكميات قليلة جدًا من الأمطار تلقاها في عدد محدود للغاية من الأيام الممطرة، لكنها تسقط في شكل أمطار غزيرة نسبيًا شديدة التركيز في وقت زمني قصير للغاية، حيث بدأ سقوط الأمطار من الساعة العاشرة صباحًا وحتى الساعة الواحدة ظهراً، أى أن فترة العاصفة قد استغرقت ما يقرب من ثلاثة ساعات فوق منطقة الدراسة.

ويمكن حساب شدة المطر Rain intensity من خلال العلاقة بين كمية المطر الساقطة بالنسبة لوحدة الزمن وفقاً للمعادلة التالية (Flood Control Section, 2003):

$$\text{شدة المطر} = 7.44 \times \text{كمية المطر الساقطة خلال 24 ساعة} \times (\text{فترة العاصفة بالدقائق}^{-0.645})$$

ويتضح بذلك أن شدة المطر يوم الأحد الموافق الأول من نوفمبر 2020 فوق أحواض التصريف بمنطقة الدراسة صغيرة جدًا لا تتجاوز 0.78 مم/ساعة، وبالرغم من هذا تسببت في حدوث سيول مفاجئة أدت إلى قطع الطرق الرئيسية وأثرت على بعض المباني والمنشآت.

ولتقدير حجم الأمطار الساقطة على حوضى التصريف فى منطقة الدراسة استخرجت بيانات المطر من صور الأقمار الصناعية، ثم قسمت أحواض التصريف إلى نطاقات حسب كمية الأمطار الساقطة في كل نطاق منها، ذلك إذ إن سقوط الأمطار لم يكن بالطبع متساوياً على جميع أجزاء حوض التصريف (شكل 8)، تم بعد ذلك حساب حجم المياه في الحوض بضرب مساحة كل نطاق في كمية المطر الساقطة عليه بعد توحيد وحدة القياس بالمتر. ووفقاً لذلك تبين أن وادي أبو حاد قد تلقى ما يقدر بنحو 2.1 مليون م<sup>3</sup> من مياه الأمطار، بينما تلقى وادي الدرب 1.3 مليون م<sup>3</sup>، ويتنااسب بذلك حجم المياه التي تلقاها كل وادي مع مساحته.



شكل 8: التوزيع المكانى لكمية الأمطار الساقطة على أحواض التصريف فى الأول من نوفمبر 2020

(المصدر: استخرجت من معالجة بيانات المطر من نوع PERSIANN-CCS)

## 2.9. تقدير حجم الفوادن

### 1.2.9. تقدير حجم الفوادن بالتبخر - نت

تتعرض الأراضي الجافة عامةً لامتصاص نسبة كبيرة من مياه المطر القليلة، ومن ثم فإن كمية الرطوبة التي تدخل الهواء نادرة وقليلة للغاية وغير قادرة على حجب أشعة الشمس، لذا فإن كمية الإشعاع الشمسي التي تلقاها الصحاري مرتفعة للغاية، حيث قد ترتفع درجات الحرارة نهاراً لـحو 37° سيليزية في منطقة الدراسة خلال شهور الصيف. وبؤدي ذلك إلى جعل الهواء شديد الجفاف لدرجة أن معدل التبخر يتجاوز بكثير معدل سقوط الأمطار، حيث يصل المتوسط اليومي

للتباخر في منطقة الدراسة 7.5 مم ، أي أكثر من ضعفين المتوسط السنوي لسقوط الأمطار في منطقة الدراسة.

وحيث أن التباخر – نتح من العوامل الهامة التي يتوقف عليها الجريان السطحي فسوف ينـ حساب التباخر – نتح المتوقع في منطقة الدراسة وفقاً لطريقة Thornthwaite & Mather (1957) والتي تعتمد على درجة حرارة الهواء وعدد ساعات النهار الشهرية ، وذلك على النحو التالي:

$$PET = 16 (10T/I)^a$$

$$I = \sum_{1}^{12} i$$

$$i = (T/5)^{1.514}$$

حيث أن: PET التباخر - نتح الكامن مم/30 يوم/نهر يبلغ 12 ساعة، I معامل درجة الحرارة السنوي heat index (م°)، i معدل درجة الحرارة الشهري (م°)، T المتوسط الشهري لدرجات الحرارة (م°) (23.5 في رأس غارب)، a معامل يحسب وفقاً للمعادلة التالية:

$$a = 0.000000675 I^3 - 0.000077 I^2 + 0.01792 I + 0.4923$$

ووفقاً لهذه الطريقة وباستخدام المتوسطات الشهرية فقد استنتجت الدراسة أن المتوسط الشهري لمعدل التباخر - نتح الكامن في أحواض منطقة الدراسة يصل نحو 0.746 مم/متر مربع/30 يوم، أي أن المعدل اليومي يصل نحو 0.024 مم/متر مربع/يوم. وهو معدل صغير بسبب التحسن النسبي للظروف الجوية وتلطيف درجات الحرارة بفعل المرتفعات التضاريسية ومياه الخليج المجاور، بالإضافة إلى أن الظروف المصاحبة عادة لسقوط الأمطار في منطقة الدراسة يصاحبها انخفاض نسبي في درجات الحرارة وقلة معدلات التباخر. بذلك يتراوح حجم الفوائد بفعل التباخر- نتح في وادي أبو حاد حوالي  $32,190.5 \text{ م}^3/\text{يوم}$ ، وهو يمثل نحو 1.5 % من إجمالي حجم الأمطار الساقطة على الوادي. كما يتراوح حجم الفوائد بفعل التباخر- نتح في وادي

الدرب حوالى  $20,456.3 \text{ م}^3/\text{يوم}$ ، بما يعادل 1.5 % من إجمالي حجم الأمطار الساقطة على الوادى.

## **2.2.9. تقدير حجم الفوائد بالتسرب في التربة والصخور السطحية**

يوضح تحليل الخريطة الجيولوجية في منطقة الدراسة أن التكوينات السطحية وتحت السطحية تتكون من صخور القاعدة المركبة ممثلة في الصخور النارية، ويُعد الجرانيت والبازلت أكثر الصخور انتشاراً بوجه عام، حيث يشكلان معًا قمم الجبال المرتفعة في المنطقة، وهي صخور غير منفذة للمياه، لكنها في ذات الوقت تسمح للمياه بالحركة عبر الشقوق والفوائل والصدوع بداية من الروافد العليا للوادي وحتى مخرج الوادي، مما يحفظ نسبة كبيرة من مياه الأمطار من فقدان بالتبخر. أما الصخور الرسوبيّة ورواسب الوادي فتتمثل في صخور الحجر الرملي والجييري في الروافد العليا، بالإضافة إلى الرواسب الفيوضية من الطين والرمال والصخى والجلاميد الناتجة عن التعرية المائية وعمليات الغسل التي تتعرض لها قمم ومنحدرات الجبال التي تنحدر منها روافد الأودية.

أما عن خطوط البنية فهي تلعب دوراً هاماً في تحديد مسار المجاري الرئيسية وكذلك بعض الروافد العليا، حيث تتخذ الصدوع الرئيسية اتجاهها عرضياً على الاتجاه العام لخليج السويس من الغرب للشرق. كما تتخذ مجموعة أخرى من الصدوع اتجاهها من الشمال الغربي للجنوب الشرقي يكاد يكون موازى لمحور خليج السويس، وينعكس أثر تقاطع مجموعة الصدوع الرئيسية مع الثانية في تلاقى الروافد العليا مع بعضها البعض بزوايا تكاد تكون عمودية حيث يبدو نمط التصريف فوق قمم الجبال أقرب ما يكون إلى النمط التكتيبي، علاوة على إنفاق بعض الروافد العليا لوادي الدرج حول جبل غارب والقمم الجبلية المجاورة في شكل حلقي تحت تأثير البنية الجيولوجية والتعرية التفاضلية.

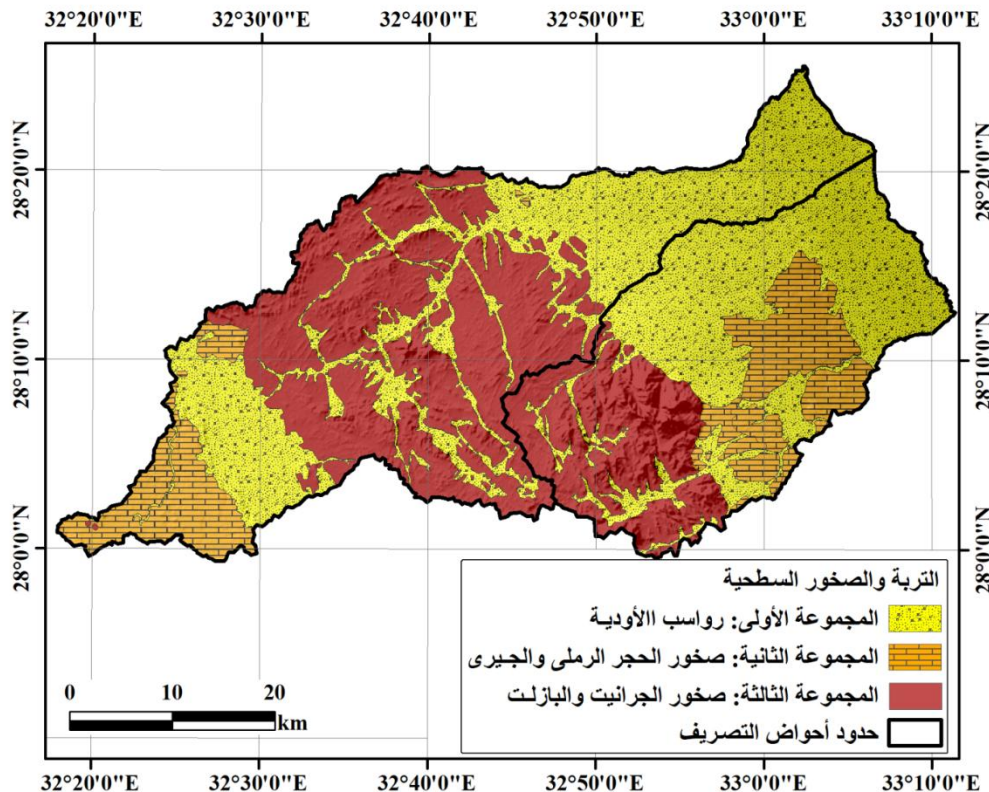
وتلعب كذلك خطوط البنية دوراً هاماً في سريان الماء السطحي من خلالها حتى تلتقي الروافد العليا مع المجاري الرئيسية، حيث يجري الماء فوق تلك الطبقات الصماء مما يقلل من مقدار الفوائد سواء بالتبخر أو التسرب نظراً لعدم اكمال قطاع التربة فوق قمم ومنحدرات الجبال.

أما عن التصنيف الهيدرولوجي للترابة فيقصد بذلك تصنیف التربة السطحية حسب قدرتها على تسرب المياه عبر مسام التربة أو جريانه فوق السطح، حيث تؤثر التربة والتكونات والتراكيب الجيولوجية بشكل أساسي على عملية الجريان المائي. وتصنف مجموعات التربة على أساس الجريان المحتمل من كل نوع منها، حيث تقل معدلات الجريان مع زيادة معدلات الترشيح أو التسرب نتيجة النفاية العالية للتربة والصخور السطحية والتراكيب الجيولوجية والعكس صحيح.

وحيث أن السطح في منطقة الدراسة يسوده الصخور النارية في المنابع العليا، فهو بذلك يشبه السطح المدرع، إذ لا تُغطى التربة السطحية فوق سطوح الجبال سوى مساحات صغيرة، مستمدة في الأساس من مفتتات الجبال وغسل المنحدرات بفعل عوامل التعرية المختلفة خاصة المياه الجارية.

ولتقدير حجم الفوائد بالتسرب في التربة والصخور السطحية تم تحديد ثلاثة مجموعات رئيسية للتربة في منطقة الدراسة حسب معدلات التسرب واحتمالية الجريان، وذلك من خلال الخرائط الجيولوجية وتحليل صور لاندستات، وهي على النحو التالي (شكل 9):

- **المجموعة الأولى:** وتمثلها الرواسب الفيوضية في بطون الأودية، وهي ذات قوام متوسط إلى خشن نسبياً، وتتميز بتصرف معتدل. ويتراوح معدل تسرب المياه فيها بين  $10^{-3}$  سم/ساعة -  $10^{-7}$  (0.0000001 - 0.001) كم<sup>2</sup>/نحو 1027.9 كم<sup>2</sup>، أي ما يعادل 46.3 % من مساحة منطقة الدراسة.
- **المجموعة الثانية:** وتمثلها تلال الحجر الرملي والجيري وتتميز بإمكانية حدوث جريان متوسط، وهي تغطي مساحات محدودة من منطقة الدراسة تصل نحو 307.8 كم<sup>2</sup> بنسبة 13.9 % من مساحة منطقة الدراسة، ويتراوح فيها معدل التسرب المائي بين  $10^{-7}$  (1 - 0.0000001) سم/ساعة.



شكل 9: مجموعات التربة والصخور السطحية في منطقة الدراسة

(المصدر: الخرائط الجيولوجية والتثمين المرافق لصور لاندستات)

**المجموعة الثالثة:** وتمثلها صخور الجبال الجرانيتية والبازلت. وهي سطوح صماء غير منفذة للماء، ومن ثم ترتفع فيها احتمالية الجريان عالية. وتساعد الشقوق والفوائل والصدوع فيها على تدفق الماء سريعا نحوجرى الوادي الرئيسي مما يقلل من تعرضها للتبخّر والفقدان. ومن ثم يتراوح معدل التسرب المائي من هذه السطوح بين 0 – 0.01 سم/ساعة ، وهي تشغّل مساحة كبيرة من أرض الوادي تقدر بنحو 883.7 كم<sup>2</sup> بنسبة 39.8 % من إجمالي مساحة منطقة الدراسة.

وتم تقدير حجم الفوائد المائية بالتسرب بضرب متوسطات قيم التسرب القياسية في مساحة كل مجموعة من مجموعات التربة والصخور السطحية بعد توحيد وحدة القياس بالمتر (جدول 3).

وأظهرت النتائج أن إجمالي حجم الفوائد بالتسرب يصل  $697,623.9 \text{ m}^3$  في وادي أبو حاد، وهو يمثل 32.9% من حجم الأمطار الساقطة على الوادي. كما يصل حجم الفوائد بالتسرب في وادي الدرب  $890,951.1 \text{ m}^3$  وهو يعادل نحو 66.4% من حجم الأمطار الساقطة على الوادي، وهي نسبة مرتفعة مقارنة بوادي أبو حاد ، نظراً لصغر المساحة التي تشغله صخور الجرانيت والبازلت (المجموعة الثالثة) من مساحة وادي الدرب.

ويحدث الجريان المائي مباشرة بعد تشبّع التربة السطحية بالماء، خاصة عندما يكون معدل سقوط الأمطار أعلى بكثير من قدرة التربة على امتصاص الماء أو تسريبه من خلالها. ويختلف عمق أو مستوى تشبّع التربة بالماء حسب نوع التربة، فالتربات دقيقة الحبيبات مثل الطين والرمال الناعمة جدًا تتشبّع عند عمق يتراوح بين 10 – 20 سم تقريبًا، حيث تصبح هذه الطبقة السطحية أشهى بالطبقة العازلة أو الصماء، إذ لا تسمح بنفذ المزيد من المياه لأبعد من هذا العمق، مما يساعد على سرعة تدفق وجريان أي كمية مياه زائدة. ويفسر هذا أسباب زيادة حجم الجريان في مجاري الأودية التي تمتلك بطونها بالرواسب الدقيقة في غضون ساعات قليلة بعد سقوط المطر.

**جدول 3: التسرب المائي من مجموعات التربة والصخور السطحية**

(حجم التسرب $\text{m}^3 / \text{ساعة}$ )		المساحة ( $\text{km}^2$ )		معدلات التسرب القياسية (سم/ساعة)	مجموعات التربة والصخور السطحية
وادي الدرب	وادي أبو حاد	وادي الدرب	وادي أبو حاد		
2,271.8	2,861	454.3	572.2	$*10^{-7} - 10^{-3}$	رواسب الوادي
876,233.3	663,020.4	175.1	132.5	$**10^{-7}$	صخور الحجر الرملي والجيري
124,46	317,42.5	248.9	634.8	$**10^{-11} - 10^{-2}$	صخور الجرانيت والبازلت
<b>890,951.1</b>	<b>697,623.9</b>	<b>878.3</b>	<b>1339.5</b>	-	<b>المجموع</b>

\*Bear, 1988. \*\*Freeze and Cherry, 1979.

### 3.9. تقدير صافى حجم الجريان

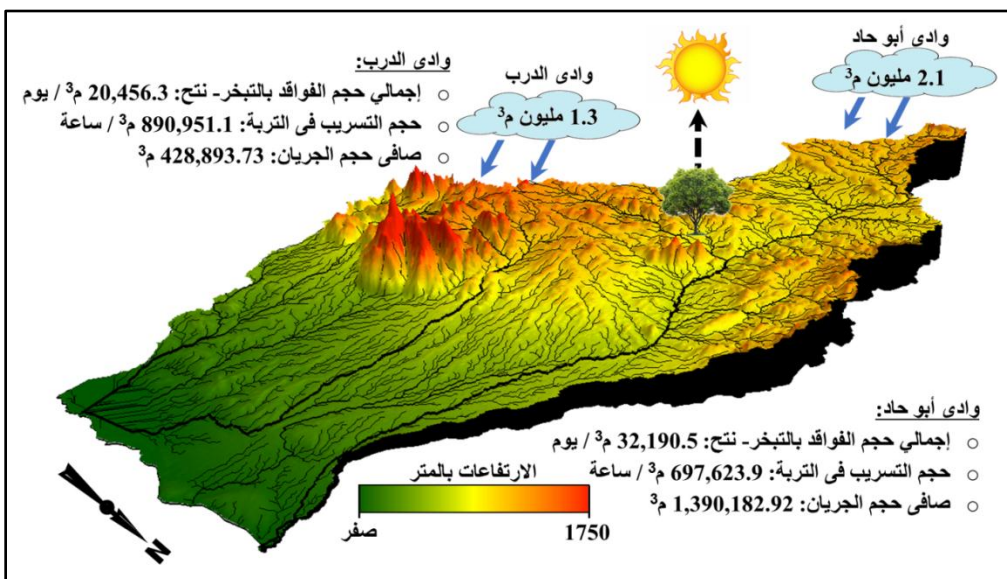
يمكن تقدير صافى حجم الجريان السطحي بطريقة بسيطة و مباشرة من خلال معرفة صافى حجم الماء المتبقى بعد استثناء إجمالى حجم الفوائد سواء بالتبخر - نتح أو التسرب فى التربة والصخور السطحية لتغذية الخزان الجوى (شكل 10).

ووفقا لما تقدم فإن منطقة الدراسة قد نالت ما يتراوح بين 1 - 3 مم مطر، ويقدر حجم مياه الأمطار بنحو  $2,119,997.32 \text{ m}^3$  فى وادى أبو حاد، و  $1,340,301.13 \text{ m}^3$  فى وادى الدرج. ويقدر إجمالى حجم الفوائد مجتمعة فى وادى أبو حاد بنحو  $729,814.40 \text{ m}^3$ ، بما يمثل حوالى 34.4 % من إجمالى حجم مياه الأمطار الساقطة على الوادى. أما فى وادى الدرج فيقدر حجم الفوائد مجتمعة بنحو  $911,407.40 \text{ m}^3$ ، بما يعادل حوالى 68 % من إجمالى حجم مياه الأمطار الساقطة على الوادى.

وبإيجاد الفروق يتبين أن حجم صافى الجريان (إجمالى حجم المياه المتدافئة) يبلغ فى وادى أبو حاد  $1,390,182.92 \text{ m}^3$ ، بما يمثل نحو 65.57 % من حجم مياه الأمطار التى تلقاها الوادى فى الأول من نوفمبر 2020. وبالمثل يبلغ صافى حجم الجريان فى وادى الدرج  $428,893.73 \text{ m}^3$ ، بما يعادل 31.99 % من حجم مياه الأمطار التى تلقاها الوادى فى نفس اليوم (جدول 4).

**جدول 4: تقدير صافى حجم الجريان بحوضى التصريف لسيل الأول من نوفمبر 2020**

المتغير	صافى الجريان ( $\text{m}^3$ )	وادى الدرج	وادى أبو حاد
مساحة الحوض ( $\text{km}^2$ )		878.3	1,339.5
حجم مياه الأمطار ( $\text{m}^3$ )		1,340,301.125	2,119,997.32
التبخر - نتح الكامن ( $\text{mm/m}^2$ )	0.024		
حجم التبخر - نتح الكامن		20,456.3	32,190.5
حجم التسرب من التربة		890,951.1	697,623.9
إجمالى حجم الفوائد ( $\text{m}^3$ )		911,407.4	729,814.4
صافى الجريان ( $\text{m}^3$ )	<b>428,893.73</b>		<b>1,390,182.92</b>



شكل 10: الميزانية المائية لسيل الأول من نوفمبر 2020 في حوضي أبو حاد والدر

## 10. النتائج والتوصيات

يهتم هذا البحث بدراسة الخصائص الهيدرومورفومترية لسيل الأول من نوفمبر 2020 في مدينة رأس غارب، بهدف تقدير حجم الأمطار والفوائد وصافي حجم الجريان في الأودية التي تقطع الطريق الساحلي، وسبل الاستفادة من مياه الأمطار والحد من أضرار السيول المتكررة، وذلك باستخدام تقنيات نظم المعلومات الجغرافية والاستشعار عن بعد.

وقد توصل البحث إلى أن أودية منطقة الدراسة قد استقبلت ما يقرب من 2 مليون  $\text{m}^3$  في وادي أبو حاد، و 1.3 مليون  $\text{m}^3$  في وادي الدر، وبلغ إجمالي حجم الفوائد نحو  $729,814.4 \text{ m}^3$  في وادي أبو حاد بنسبة 34.43 % من إجمالي حجم الأمطار الساقطة على الوادي، و 911,407.4  $\text{m}^3$  في وادي الدر بنسبة 68 % من إجمالي حجم الأمطار التي سقطت على الوادي. وبلغ صافي الجريان 1,390,182.92  $\text{m}^3$  في وادي أبو حاد بنسبة 65.57 % من حجم مياه الأمطار التي سقطت على الوادي، و 428,893.73  $\text{m}^3$  في وادي الدر بنسبة 31.99 % من حجم الأمطار التي تلقاها الوادي.

وقد تسبب سيل سوم الأحد الموافق الأول من نوفمبر 2020 في عزل عدد من المدن الساحلية عن باقي أجزاء الجمهورية، وقطع الطرق الرئيسية على المسافرين ومحاصرتهم بسيارتهم على الطرق المؤدية إلى محافظة البحر الأحمر بسبب الأضرار الجسيمة التي أصابتها من جراء الأمطار الغزيرة ، كما تسبب تدفق المياه في انقلاب وانجراف عدد من السيارات.

وتوصى الدراسة بضرورة انشاء سدود ترابية من مواد الوادي - منخفضة التكلفة - على الروافد الرئيسية، على أبعاد مناسبة على طول المجاري الرئيسية، وبارتفاع يتراوح بين 1.5 - 2 م، بحيث يسمح كل منها بتطيير حركة المياه، إذ يسمح بحركة المياه بالدوران حول السد من أحد جانبيه فقط، ومن ثم يزيد زمن تأخير وصول المياه إلى نهاية الوادي وزيادة زمن التركيز بحيث لا تصل المياه إلى نهاية الوادي دفعه واحدة، مع ضرورة الإعتناء بالطرق وتصميمها بشكل يسمح بوجود ممرات أو قناطر للمياه (برابخ) أسفل الطريق عند تقاطعه مع مخارج الأودية، مع ضمان صيانتها بشكل دوري.

ويساعد ذلك كله على زيادة معدلات تسرب المياه في تربة الأودية وتشبعها، مما يقلل من حجم التدفق وبطئ الجريان ويزيد من منسوب المياه تحت السطحية، والتي يمكن إعادة استغلالها لاحقاً سواءً في الاستصلاح الزراعي لبعض أراضي الوديان أو في عمليات الرعي، أو إعادة حصادها بأي شكلٍ من الأشكال الأخرى لإعادة إستغلالها.

والواقع أن مثل هذا النوع من السيول الضعيفة عادة ما يكون ذات تكرارية حدوث مرتفعة، فقد أوضحت دراسة (Moawad & Khidr 2011) إلى أن فترة العودة لأحداث السيول الضعيفة من الممكن أن تحدث في صحراء مصر الشرقية كل 1.28 سنة، وهذا أدعى لضرورة التفكير في كيفية تحذين واستغلال مثل هذه الكميات سنوياً، لا سيما في ظل الشح المائي الذي تعانيه مصر حالياً نتيجة الطلب المتزايد على المياه مع زيادة أعداد السكان، ولمواكبة المشروعات التنموية التي تشهدتها مصر حالياً وفقاً لخطتها الإستراتيجية.

**المراجع العربية**

جودة حسنين جودة و محمود محمد عاشور وآخرون (1991) وسائل التحليل الجيومورفولوجي. الطبعة الأولى، بدون دار نشر، 513 ص.

خالد محمد مذكر علي (2020) الأحوال المناخية الاستثنائية المصاحبة للمنخفضات الجوية في مصر خلال موسم المطر 2019-2020 - دراسة في الجغرافيا المناخية باستخدام تقنيات الاستشعار عن بعد ونظم المعلومات الجغرافية. مجلة كلية الآداب للإنسانيات والعلوم الاجتماعية، جامعة الفيوم، مجلد 12، عدد 2: 2097-2190.

محمود محمد محمد خضر (1997) الأخطار الجيومورفولوجية الرئيسية في مصر مع التركيز على السيول في بعض مناطق وادى النيل. رسالة ماجستير غير منشورة، قسم الجغرافيا، كلية الآداب، جامعة عين شمس، 491 ص.

نصر الدين محمود احمد سالم (2018) شبكة التصريف في منطقة رأس غارب والأخطار الجيومورفولوجية المرتبطة بها باستخدام نظم المعلومات الجغرافية. مجلة الدراسات الإنسانية والأدبية، كلية الآداب جامعة كفر الشيخ، عدد 16- إبريل، ص ص 223-280.

**المراجع الأجنبية**

- Ashour, M. (2002) Flash floods in Egypt: A case study of Drunka Village, Upper Egypt. *Bull de la Société de Géographie d'Égypte*, 114–75:101.
- Bear, J. (1988) Dynamics of fluids in porous media. New York, 764 p.
- Ministry of Civil Aviation, Meteorological Authority (1980) Climatological Normals for the Arab Republic of Egypt Up to 1975. Meteorological Authority, Cairo, 433 p.
- Elnazer, A.A., Salman, A.S., Asmoay, A.S. (2017) Flash flood hazard affected Ras Gharib city, Red Sea: Egypt: a proposed flash flood channel. Springer Science, Nat Hazards 89: 1389–1400.
- Embabi, N.S. (2018) Landscapes and Landforms of Egypt: Landforms and Evolution. Springer International Publishing AG, 335p.
- Flood Control Center (2003) San Diego County Hydrology Manual, 322 p. (San Diego: San Diego County Flood Control Advisory Commission).
- Freeze, R.A., Cherry, J.A. (1979) Groundwater, Prentice Hall, Englewood Cliffs, N.J. 604 p.

- Hijmans, R.J., Cameron, S.E., Parra, J.L., Jones, P.G., Jarvis, A. (2004) The WorldClim interpolated global terrestrial climate surfaces, version 1.3.
- Jenson, S.K., Domingue, J.O. (1988) Extracting Topographic Structure from Digital Elevation Data for Geographic Information System Analysis." Photogrammetric Engineering and Remote Sensing 54 (11): 1593–1600.
- Klitzsch, E., List, F., Pöhlmann, G., Handley, R., Hermina, M., Meissner, B. (1987) Geological map of Egypt NH 36 SW-Beni Suef. Conoco Coral, The Egyptian General Petroleum Corporation.
- Klitzsch, E., List, F., Pöhlmann, G., Handley, R., Hermina, M., Meissner, B. (1987) Geological map of Egypt NG 36 NE-Quseir. Conoco Coral, The Egyptian General Petroleum Corporation.
- Miller, V.C.A (1953) Quantitative Geomorphic Study of Drainage Basin Characteristics in the Clinch Mountain Area. Virginia and Tennessee, Project Number 389 - 402. Technical Report-3, Columbia University, Department of Geology, New York.
- Ministry of Petroleum, The Egyptian Mineral Resources Authority (2005) Geological map of Jabal Gharib Quadrangle, Cairo.
- Moawad, B.M., Khidr, M.M. (2011) A GIS and RS based approach for modeling ungauged small-scale catchments in Mersa Alam. Bull Soc Géog Égypte. 84:117–140.
- Moawad, B.M. (2013) Analysis of the flash flood occurred on 18th January 2010 in Wadi El Arish, Egypt (A case study). Geomatics 4(3):245–274.
- Moawad, B.M., Abd El Aziz, A.O. (2018) Assessment of Remotely Sensed Digital Elevation Models (DEMs) Compared with DGPS Elevation Data and Its Influence on Topographic Attributes. Advances in Remote Sensing, 7, 144-162.
- Mukul, M., Srivastava, V., Jade, S., Mukul, M. (2017) Uncertainties in the Shuttle Radar Topography Mission (SRTM) Heights: Insights from the Indian Himalaya and Peninsula. Scientific Reports, 7:41672, DOI: 10.1038/srep41672.
- Pilgrim, D.H., McDermott, G.E. (1982) Design floods for small rural catchments in Eastern New South Wales. Civil Engineering Transactions CE24: 226-234.

- Reid, I., Powell, D.M., Laronne, J.B., Garcia, C. (1994) Flash floods in desert rivers: studying the unexpected. *Eos, Trans Am Geophysical Union.* 75–39:452.
- Sharma, A., Tiwari, K.N., Bhadaria, P.B.S. (2010) Vertical accuracy of digital elevation model from Shuttle Radar Topographiy Mission – a case study. *Geocarto International*, vol. 25, No. 4, 257–267.
- Strahler, A.N. (1964) Quantitative geomorphology of drainage basins and channel networks. In Chow, V. T. (ed.): *Handbook of applied hydrology*, McGraw-Hill, New York, pp. 439: 476.
- Thornthwaite, C.W., Mather, J.R. (1957) Instructions and tables for computing potential evapotranspiration and the water balance. Centerton, N.J., Laboratory of Climatology, Publications in Climatology, 10 - 3: 125 – 311.
- Warner, T.T. (2004) Desert meteorology. Edinburgh: Cambridge university press; p. 612.

## Hydromorphometric study of the flashflood occurred on the 1<sup>st</sup> of November 2020 in Ras Gharib City– Egypt

Moawad Badawy Moawad

*Department of Geography and GIS, Faculty of Arts, Ain Shams University,  
Cairo, Egypt*

e-mail: [moawad.badawy@art.asu.edu.eg](mailto:moawad.badawy@art.asu.edu.eg)

(With 10 figures and 4 tables)

### **Abstract:**

The city of Ras Gharib and its surroundings have recently been subjected to repeated sudden flashfloods that led to the closure of the coastal road and disrupted the main transports to and from the Red Sea Governorate. Of which, flashflood of 26 and 27 October 2016 is mostly the worst in the last 50 years, as it killed dozens of people and destroyed the infrastructure and property. The city was also recently exposed on 01<sup>st</sup> November 2020 to another similar flashflood, but less severe than that of 2016.

This research aims to reveal the hydromorphometric properties of the flashflood occurred on the first of November 2020, to estimate rain water and losses volumes, the net volume of runoff in the wadis that cross the main coastal roads in the Ras Gharib region, ways to benefit from rain water and reduce the damage of frequent flashfloods. A number of advanced methods have been used, including morphometric analysis and the extraction of drainage networks and wadis from DEM, Landsat images and images from Google Earth Pro with high spatial resolution, and the analysis of rain data obtained from the PERSIANN-CDR and PERSIANN-CCS models to estimate rain volume and the calculation of losses by evaporation-transpiration as well as by infiltration into the soil, using GIS and remote sensing techniques.

The study concluded that the wadis of the study area received approximately two millions  $m^3$  in wadi Abu Haad, and 1.3 million  $m^3$  in wadi al-Darb. The total losses amounted to about 729,814.4  $m^3$  in wadi Abu Haad, and 911,407.4  $m^3$  in wadi al-Darb. The net runoff was estimated as 1,390,182.92  $m^3$  in wadi Abu Haad, with a rate of 65.57 % of rain volume that fell on the wadi, and 428,893.73  $m^3$  in wadi Al-Darb, or 31.99 % of the rain volume that the wadi received.